Семинар научно-учебной группы «Нижегородские эволюционисты»

Нижний Новгород, Россия, 23 октября 2025 года

Фейнманоны в задачах физики твёрдого тела

А. Э. Рассадин

Национальный исследовательский университет «Высшая школа экономики»

Легендарный физик

Письма в ЖЭТФ

Т. 9 1969 Вып. 1

ПОВЕРХНОСТНЫЕ ЭЛЕКТРОЗВУКОВЫЕ ВОЛНЫ В ТВЕРДЫХ ТЕЛАХ

28

К.В.Гуляев

В настоящей работе будет показано, что вдоль поверхности однородного пьезоэлектрического или проводящего твердого тела может
распространяться поверхностная звуковая волна нерелеевского типа —
чисто поперечная с вектором поляризации, параллельным поверхности.
Выполнение граничных условий на поверхности при этом обеспечивается наличием в такой волне продольного и поперечного электрического поля. Последние могут быть связаны как с чистым пьезоэффектом
(в пьезоэлектрических диэлектриках), так и с перераспределением
свободных электронов и возникновением объемных зарядов вследствие
электрон-фононного взаимодействия через пьезоэффект или потенциал
деформации (в проводящих телах). Так как поверхностный характер
этих волн принципиально связан с взаимодействием электрических полей с решеткой кристалла, мы будем называть их "электрозвуковыми" 1).

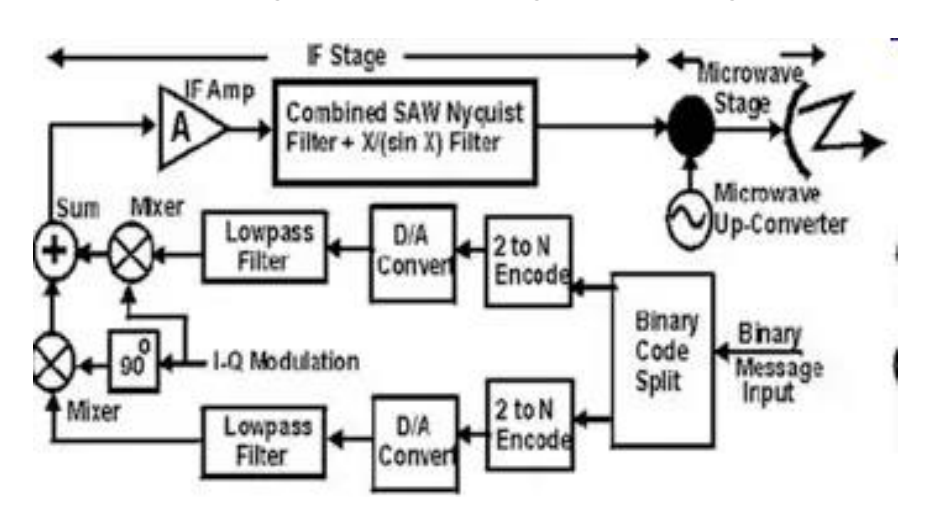
Рассмотрим для определенности полубесконечный пьезоэлектрический проводящий кристалл типа сульфида кадмия (класс C_{6v}), ориентипованный так что пексагональная ось от и ось от паравленьны по-



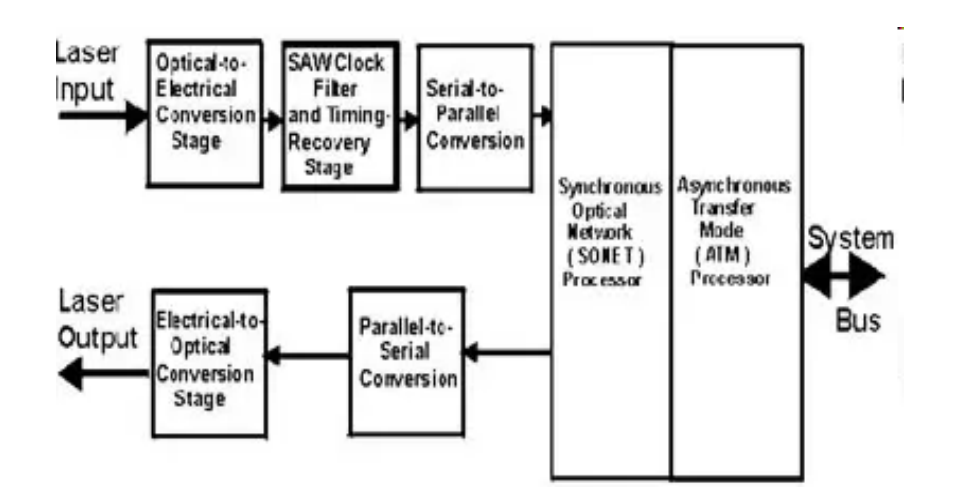
Юрий Васильевич Гуляев, академик РАН, научный руководитель ИРЭ им. В. А. Котельникова РАН

Применение акустоэлектронных устройств в системах и средствах связи

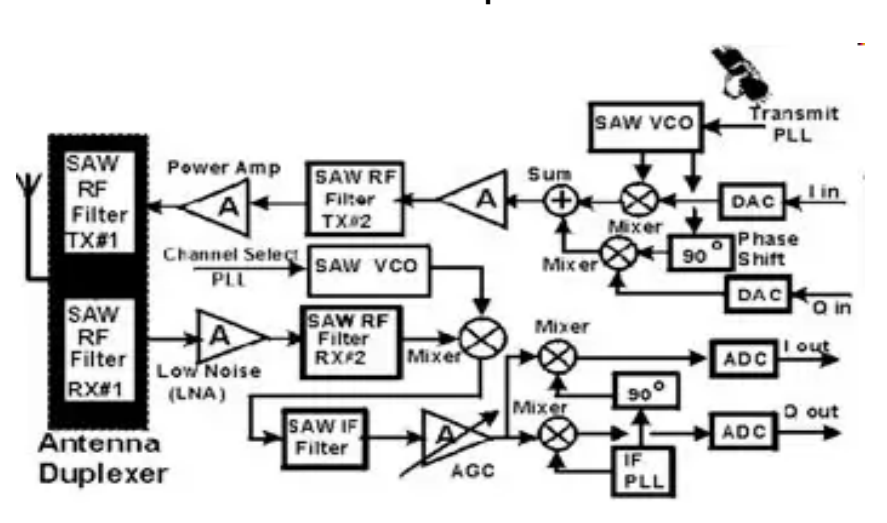
Цифровой радиопередатчик с квадратурной амплитудной модуляцией



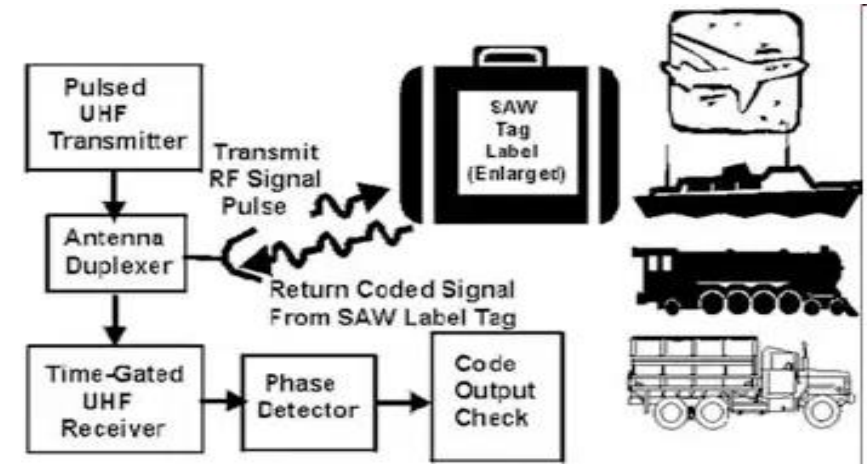
Регенератор для ВОЛС в стандарте АТМ



Базовая цифровая абонентская сотовая станция типа GSM



Инспекционные устройства на ПАВ



Система уравнений, описывающая распространение связанных электрических и упругих волн в пьезоэлектрической среде:

$$\rho \cdot \frac{\partial^2 u_i}{\partial t^2} = \frac{\partial \sigma_{ik}}{\partial x_k}$$

Тензор напряжений пьезоэлектрика:

$$\sigma_{ik} = \lambda_{iklm} \cdot u_{lm} + \beta_{l,ik} \cdot E_l$$

$$div\vec{D} = 0$$

Вектор электрической индукции:

$$D_i = D_{0i} + \varepsilon_{ik} \cdot E_k - 4 \cdot \pi \cdot \beta_{i,lm} \cdot u_{lm}$$

$D_{0i}\,$ — вектор пироэлектрической индукции

$$rot\vec{E} = 0$$

$$\vec{E} = -grad\varphi$$

Тензор деформаций:

$$u_{lm} = \frac{1}{2} \cdot \left(\frac{\partial u_l}{\partial x_m} + \frac{\partial u_m}{\partial x_l} \right)$$

Свойства симметрии тензора модулей упругости

$$\lambda_{iklm}=\lambda_{kilm}=\lambda_{ikml}=\lambda_{lmik}$$
 — остаётся 21 независимая компонента

Рассмотрим кристалл класса C6v: ось симметрии 6-го порядка (ось z) с проходящей через неё плоскостью симметрии

$$\lambda_{xxxx} = \lambda_{yyyy} = a + b$$
 $\lambda_{xxyy} = a - b$
 $\lambda_{xxzz} = \lambda_{yyzz} = c$ $\lambda_{xyxy} = b$
 $\lambda_{xzxz} = \lambda_{yzyz} = d$ $\lambda_{zzzz} = f$

остаётся 5 независимых компонент

$$\vec{u}=(0, 0, u(x,y,t))$$
 — вектор смещения

$$\lambda_{xzxz} = \lambda_{yzyz} \equiv \lambda$$
 $\varphi = \varphi(x, y, t)$

$$\beta_{x,xz} = \beta_{y,yz} \equiv \beta$$
 $\varepsilon_{xx} = \varepsilon_{yy} \equiv \varepsilon$

$$\sigma_{zx} = \frac{\partial}{\partial x} (-\beta \cdot \varphi + \lambda \cdot u) \quad \sigma_{zy} = \frac{\partial}{\partial y} (-\beta \cdot \varphi + \lambda \cdot u)$$

$$\vec{D} = \left(-\frac{\partial}{\partial x} (\varepsilon \cdot \varphi + 4 \cdot \pi \cdot \beta \cdot u), -\frac{\partial}{\partial y} (\varepsilon \cdot \varphi + 4 \cdot \pi \cdot \beta \cdot u), D_0 \right)$$

$$\varphi = -\frac{4 \cdot \pi \cdot \beta}{\varepsilon} \cdot u$$

$$\frac{\partial^2 u}{\partial t^2} = a^2 \cdot \Delta u \qquad \Delta \equiv \frac{\partial^2}{\partial x^2} + \frac{\partial^2}{\partial y^2} \qquad a = \sqrt{\frac{1}{\rho} \cdot \left(\lambda + \frac{4 \cdot \pi \cdot \beta^2}{\varepsilon}\right)}$$

$$\frac{\partial \psi_1}{\partial t} = -a \cdot \sqrt{-\Delta} \cdot \psi_2 \qquad \frac{\partial \psi_2}{\partial t} = a \cdot \sqrt{-\Delta} \cdot \psi_1$$
$$\psi_1(x, y, t) \equiv u(x, y, t)$$

$$\sqrt{-\Delta}f(x,y) = \int_{-\infty}^{+\infty} \int_{-\infty}^{+\infty} \frac{f(x,y) - f(x',y')}{[(x-x')^2 + (y-y')^2]^{3/2}} \cdot \frac{dx' \cdot dy'}{2 \cdot \pi}$$

$$(-\Delta)^{-\frac{1}{2}} f(x,y) = \int_{-\infty}^{+\infty} \int_{-\infty}^{+\infty} \frac{f(x',y')}{\sqrt{(x-x')^2 + (y-y')^2}} \cdot \frac{dx' \cdot dy'}{2 \cdot \pi}$$

$$i\cdot rac{\partial \psi}{\partial t} = a\cdot \sqrt{-\Delta}\cdot \sigma_y\cdot \psi$$
 $\sigma_y = egin{pmatrix} 0 & -i \ i & 0 \end{pmatrix}$ — матрица Паули

$$\psi(x, y, t) = (\psi_1(x, y, t), \quad \psi_2(x, y, t))^T$$

$$\psi(x,y,0) = \left(u(x,y,0), -\frac{1}{2 \cdot \pi \cdot a} \int_{-\infty - \infty}^{+\infty + \infty} \frac{\partial u(x',y',0)}{\partial t} \frac{dx' \cdot dy'}{\sqrt{(x-x')^2 + (y-y')^2}}\right)^T$$

$$\psi(x, y, t) = \int_{-\infty}^{+\infty} \int_{-\infty}^{+\infty} \Gamma(x, y; x', y'; t) \cdot \psi(x', y', 0) \cdot dx' \cdot dy'$$

$$\Gamma(x, y; x', y'; t) = \langle x, y \mid \exp[-i \cdot a \cdot t \cdot \sqrt{-\Delta} \cdot \sigma_y] \mid x', y' \rangle$$

$$\exp(-i\cdot a\cdot t\cdot \sqrt{-\Delta}\cdot \sigma_y) = \frac{1-\sigma_y}{2}\cdot \exp(i\cdot t\cdot a\cdot \sqrt{-\Delta}) + \frac{1+\sigma_y}{2}\cdot \exp(-i\cdot t\cdot a\cdot \sqrt{-\Delta})$$

$$\Gamma(x, y; x', y'; t) = \frac{1 - \sigma_y}{2} \cdot G^*(x', y'; x, y; t) + \frac{1 + \sigma_y}{2} \cdot G(x, y; x', y'; t)$$

$$G(x, y; x', y'; t) \equiv \langle x, y \mid \exp(-i \cdot t \cdot a \cdot \sqrt{-\Delta}) \mid x', y' \rangle$$

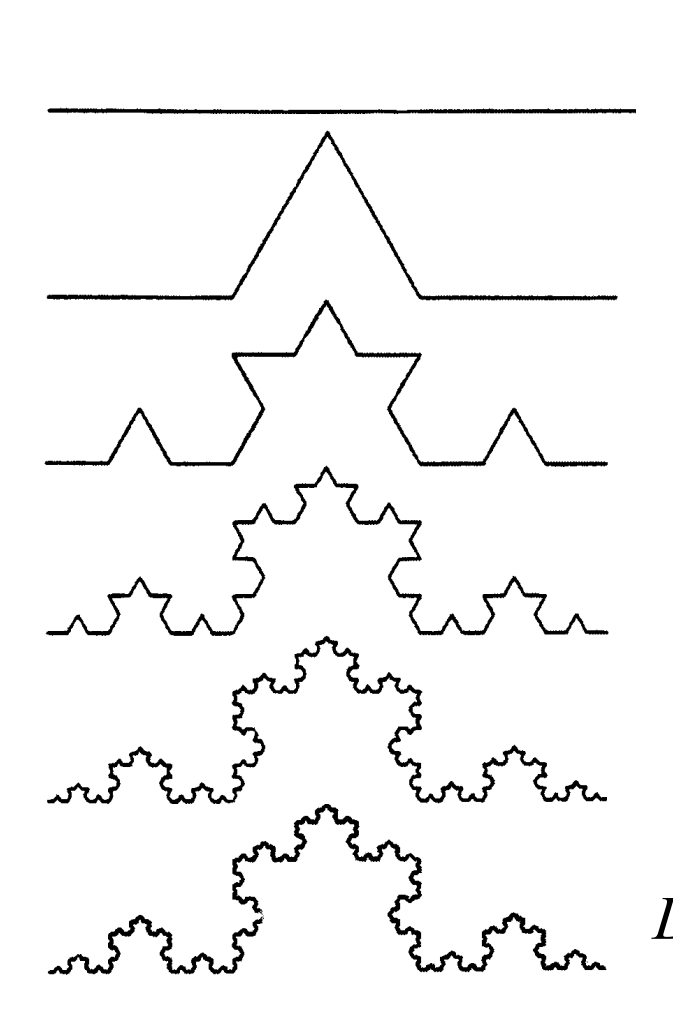
$$G(x, y; x', y'; t) = \int_{Q_1(0) = x', Q_2(0) = y'}^{Q_1(t) = x, Q_2(t) = y} \underbrace{\prod_{k=1}^{2} \frac{dP_k(\tau) \cdot dQ_k(\tau)}{2 \cdot \pi}}_{Q_1(0) = x', Q_2(0) = y'} \underbrace{\prod_{k=1}^{2} \frac{dP_k(\tau) \cdot dQ_k(\tau)}{2 \cdot \pi}}_{Q_1(0) = x', Q_2(0) = y'}$$

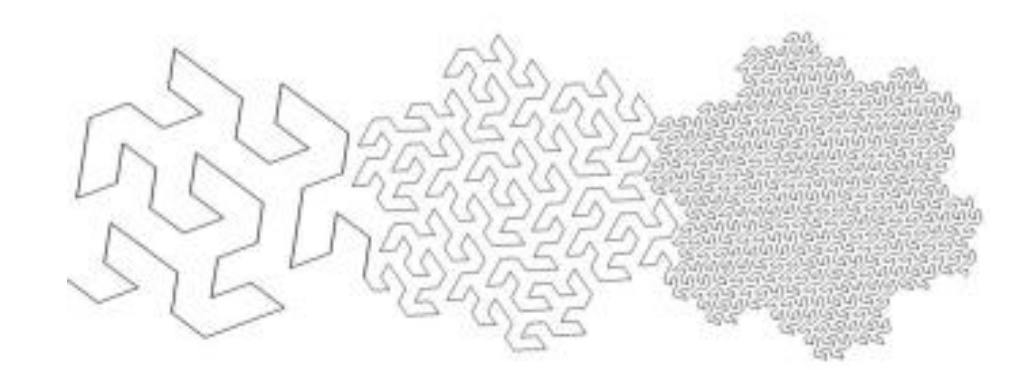
$$S = \int_{0}^{t} [P_{1}(\tau) \cdot \dot{Q}_{1}(\tau) + P_{2}(\tau) \cdot \dot{Q}_{2}(\tau) - a \cdot \sqrt{P_{1}^{2}(\tau) + P_{2}^{2}(\tau)}] \cdot d\tau$$

Fractal dynamics on plane of coordinates:

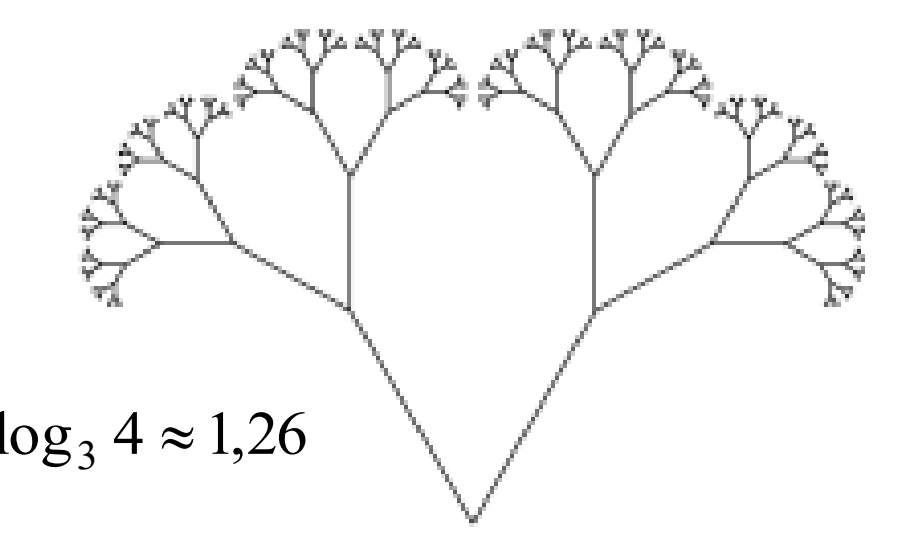
Iterations of Koch's curve

Iterations of Gosper curve:





Fractal tree:



Взаимоотношения фейнманона с фононами и фотонами

$$\hat{u}(x,y,t) = \int_{-\infty}^{+\infty} \int_{-\infty}^{+\infty} [\hat{c}(\vec{p},t) \cdot U_{\vec{p}}(x,y) + \hat{c}^{+}(\vec{p},t) \cdot U_{\vec{p}}^{*}(x,y)] \cdot \frac{dp_{x} \cdot dp_{y}}{2 \cdot \pi \cdot \sqrt{2 \cdot a \cdot |\vec{p}|}}$$

$$\hat{\vec{E}}(x,y,t) = \frac{4 \cdot \pi \cdot \beta}{\varepsilon} \cdot \int_{-\infty}^{+\infty} \int_{-\infty}^{+\infty} \vec{p} \cdot [\hat{a}(\vec{p},t) \cdot U_{\vec{p}}(x,y) + \hat{a}^{+}(\vec{p},t) \cdot U_{\vec{p}}^{*}(x,y)] \cdot \frac{dp_{x} \cdot dp_{y}}{2 \cdot \pi \cdot \sqrt{2 \cdot a \cdot |\vec{p}|}}$$

$$\vec{p} = (p_x, p_y)$$
 $U_{\vec{p}}(x, y) = \exp[i \cdot p_x \cdot x + i \cdot p_y \cdot y]$

$$\hat{c}(\vec{p},t) = \hat{c}(\vec{p}) \cdot \exp[-i \cdot a \cdot |\vec{p}| \cdot t] \quad \hat{c}^{+}(\vec{p},t) = \hat{c}^{+}(\vec{p}) \cdot \exp[i \cdot a \cdot |\vec{p}| \cdot t]$$

$$\hat{a}(\vec{p},t) = i \cdot \hat{c}(\vec{p},t)$$
 $\hat{a}^+(\vec{p},t) = -i \cdot \hat{c}^+(\vec{p},t)$

$$\frac{U_{\vec{p}}(x,y)}{-2 \cdot \pi \cdot i} = \int_{Q_{1}(-\pi/2)=p_{x}/p_{0}}^{Q_{1}(0)=p_{0} \cdot x} \int_{Q_{2}(-\pi/2)=p_{y}/p_{0}}^{Q_{2}(0)=p_{0} \cdot y} \cdot \prod_{k=1}^{2} \prod_{\tau} \frac{dP_{k}(\tau) \cdot dQ_{k}(\tau)}{2 \cdot \pi}$$

$$\widetilde{S} = \int_{-\pi/2}^{0} \sum_{k=1}^{2} \left(P_k(\tau) \cdot \dot{Q}_k(\tau) - \frac{P_k^2(\tau) + Q_k^2(\tau)}{2} \right) \cdot d\tau$$

$$\psi(x, y, 0) = \int_{-\infty}^{+\infty} \int_{-\infty}^{+\infty} \widetilde{\psi}(p_x, p_y, 0) \cdot U_{\vec{p}}(x, y) \cdot \frac{dp_x \cdot dp_y}{2 \cdot \pi}$$

$$\hat{u}(x,y,0) = \int_{-\infty}^{+\infty} \int_{-\infty}^{+\infty} [\hat{c}(\vec{p}) \cdot U_{\vec{p}}(x,y) + \hat{c}^{+}(\vec{p}) \cdot U_{\vec{p}}^{*}(x,y)] \cdot \frac{dp_{x} \cdot dp_{y}}{2 \cdot \pi \cdot \sqrt{2 \cdot a \cdot |\vec{p}|}}$$

Локальный гамильтониан:

$$\hat{H} = \int_{-\infty}^{+\infty} \int_{-\infty}^{+\infty} : \left[\frac{1}{2} \cdot \left(\frac{\partial \hat{u}(x, y, t)}{\partial t} \right)^2 + \frac{a^2}{2} \cdot \left(\frac{\partial \hat{u}(x, y, t)}{\partial x} \right)^2 + \frac{a^2}{2} \cdot \left(\frac{\partial \hat{u}(x, y, t)}{\partial y} \right)^2 \right] : dx \cdot dy$$

$$\hat{H} = \int_{-\infty}^{+\infty} \int_{-\infty}^{+\infty} a \cdot |\vec{p}| \cdot \hat{c}^{+}(\vec{p}) \cdot \hat{c}(\vec{p}) \cdot dp_{x} \cdot dp_{y}$$

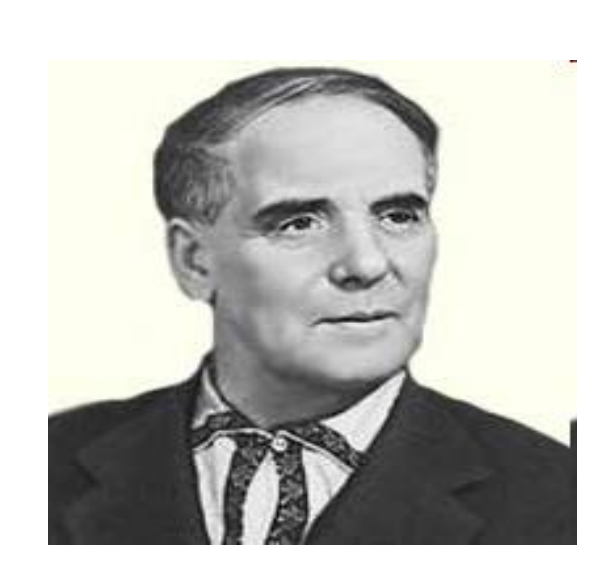
Нелокальный гамильтониан:

$$\hat{H} = \int_{-\infty}^{+\infty} \int_{-\infty}^{+\infty} : \left[\frac{1}{2} \cdot \left(\frac{\partial \hat{u}(x, y, t)}{\partial t} \right)^2 + \frac{a^2}{2} \cdot \left(\sqrt{-\Delta} \cdot \hat{u}(x, y, t) \right)^2 \right] : \cdot dx \cdot dy$$

$$\hat{\widetilde{H}} = \hat{H}$$

 квантовая теория поля пьезоэлектриков по самой своей природе нелокальна.

Советские классики физики сверхтекучести:



П. Л. Капица



Л. Д. Ландау



Н. Н. Боголюбов

Гамильтониан Н. Н. Боголюбова для слабо неидеального бозе-газа при близких к нулю температурах (1947 г.):

$$\hat{H} = E_0 + \sum_{\vec{p}} \left(\frac{p^2}{2 \cdot m} + m \cdot u^2 \right) \cdot \hat{a}_{\vec{p}}^+ \cdot \hat{a}_{\vec{p}}^+ + \frac{m \cdot u^2}{2} \cdot \sum_{\vec{p}} (\hat{a}_{\vec{p}} \cdot \hat{a}_{-\vec{p}}^+ + \hat{a}_{\vec{p}}^+ \cdot \hat{a}_{-\vec{p}}^+)$$

Коммутационные соотношения Бозе:

$$[\hat{a}_{\vec{p}}, \hat{a}_{\vec{p}'}] = 0 \quad [\hat{a}_{\vec{p}}, \hat{a}_{\vec{p}'}^{+}] = \delta_{\vec{p}\vec{p}'}$$

$$\hat{a}_{\vec{p}} = \frac{\hat{b}_{\vec{p}} + L_{\vec{p}} \cdot \hat{b}_{-\vec{p}}^{+}}{\sqrt{1 - L_{\vec{p}}^{2}}} \quad \hat{a}_{\vec{p}}^{+} = \frac{\hat{b}_{\vec{p}}^{+} + L_{\vec{p}} \cdot \hat{b}_{-\vec{p}}}{\sqrt{1 - L_{\vec{p}}^{2}}}$$

$$[\hat{b}_{\vec{p}}, \hat{b}_{\vec{p}'}] = 0 \quad [\hat{b}_{\vec{p}}, \hat{b}_{\vec{p}'}^+] = \delta_{\vec{p}\vec{p}'}$$

Диагонализация гамильтониана Боголюбова:

$$\hat{H} = \tilde{E}_0 + \sum_{\vec{p}} \varepsilon(p) \cdot \hat{b}_{\vec{p}}^+ \cdot \hat{b}_{\vec{p}} \qquad L_{\vec{p}} = \frac{1}{m \cdot u^2} \cdot \left[\varepsilon(p) - \frac{p^2}{2 \cdot m} - m \cdot u^2 \right]$$

$$\varepsilon(p) = \sqrt{u^2 \cdot p^2 + \left(\frac{p^2}{2 \cdot m}\right)^2}$$

— спектр элементарных возбуждений слабо неидеального бозе-газа

$$\hat{F}(x) = \int (\hat{b}(\vec{p}) \cdot \exp[-i \cdot p \cdot x] + \hat{b}^{+}(\vec{p}) \cdot \exp[i \cdot p \cdot x]) \cdot d\vec{p}$$

$$\exp[-i \cdot p \cdot x] \equiv \exp[-i \cdot \varepsilon(p) \cdot t + i \cdot \vec{p} \cdot \vec{x}]$$

$$[\hat{b}(\vec{p}), \hat{b}^{+}(\vec{p}')] = \delta(\vec{p} - \vec{p}') \qquad d\vec{p} = \frac{d^{3}p}{\sqrt{2 \cdot \varepsilon(p)} \cdot (2 \cdot \pi)^{3/2}}$$

Уравнение для квантованного скалярного поля F(x):

$$\frac{\partial^2 \hat{F}}{\partial t^2} + \varepsilon^2 (\hat{\vec{p}}) \cdot \hat{F} = 0 \qquad \varepsilon^2 (\hat{\vec{p}}) = \frac{\Delta^2}{4 \cdot m^2} - u^2 \cdot \Delta \qquad \hat{\vec{p}} = -i \cdot \nabla$$

$$\hat{H} = \int : \left[\frac{1}{2} \cdot \left(\frac{\partial \hat{F}(x)}{\partial t} \right)^2 + \frac{1}{2} \cdot (\varepsilon(\hat{\vec{p}}) \cdot \hat{F}(x))^2 \right] : d^3x$$

$$\hat{H} = \int \mathcal{E}(p) \hat{b}^+(\vec{p}) \cdot \hat{b}(\vec{p}) \cdot d\vec{p}$$
 — результат совпадает с диагонализованным гамильтонианом Боголюбова

Рассмотрим классическое уравнение для скалярного поля F(x):

$$\frac{\partial^2 F}{\partial t^2} + \varepsilon^2 (\hat{\vec{p}}) \cdot F = 0 \qquad \frac{\partial F_1}{\partial t} = -\varepsilon (\hat{\vec{p}}) \cdot F_2 \qquad \frac{\partial F_2}{\partial t} = \varepsilon (\hat{\vec{p}}) \cdot F_1$$

$$i \cdot \frac{\partial \vec{F}}{\partial t} = \varepsilon (\hat{\vec{p}}) \cdot \sigma_y \cdot \vec{F} \qquad \sigma_y = \begin{pmatrix} 0 & -i \\ i & 0 \end{pmatrix} \qquad \vec{F} = \begin{pmatrix} F_1 \\ F_2 \end{pmatrix}$$

$$\vec{F}(\vec{x},t) = \int \Gamma(\vec{x}, \vec{x}';t) \cdot \vec{F}(\vec{x}',0) \cdot d^3x' \qquad \sigma_y^2 = 1$$

$$\Gamma(\vec{x}, \vec{x}'; t) = \langle \vec{x} \mid \exp(-i \cdot t \cdot \varepsilon(\hat{\vec{p}}) \cdot \sigma_y) \mid \vec{x}' \rangle$$

$$\exp(-i \cdot t \cdot \varepsilon(\hat{\vec{p}}) \cdot \sigma_y) = \frac{1 - \sigma_y}{2} \cdot \exp(i \cdot t \cdot \varepsilon(\hat{\vec{p}})) + \frac{1 + \sigma_y}{2} \cdot \exp(-i \cdot t \cdot \varepsilon(\hat{\vec{p}}))$$

$$\Gamma(\vec{x}, \vec{x}'; t) = \frac{1 - \sigma_y}{2} \cdot G^*(\vec{x}', \vec{x}; t) + \frac{1 + \sigma_y}{2} \cdot G(\vec{x}, \vec{x}'; t)$$

$$G(\vec{x}, \vec{x}'; t) \equiv \langle \vec{x} \mid \exp(-i \cdot t \cdot \varepsilon(\hat{\vec{p}})) \mid \vec{x}' \rangle$$

Функция Грина выражается интегралом Фейнмана вида:

$$G(\vec{x}, \vec{x}'; t) = \int_{\vec{Q}(0) = \vec{x}'}^{\vec{Q}(t) = \vec{x}} \exp[i \cdot \int_{0}^{t} (\vec{P}(\tau) \cdot \dot{\vec{Q}}(\tau) - \varepsilon(\vec{P}(\tau)) \cdot d\tau] \cdot \prod_{\tau} \frac{d\vec{P}(\tau) \cdot d\vec{Q}(\tau)}{2 \cdot \pi}$$

Траектории в интеграле Фейнмана:

$$\begin{split} \vec{Q}(\tau) &= \vec{Q}_j + (\vec{Q}_{j+1} - \vec{Q}_j) \cdot (\tau - \tau_j) \big/ \Delta \tau \,, \quad \vec{P}(\tau) = \vec{P}_j, \quad \tau \in [\tau_j, \tau_{j+1}], \\ \tau_j &= j \cdot \Delta \tau \qquad \Delta \tau = t/N \qquad \qquad j = \overline{0, N} \end{split}$$

Траектория в пространстве импульсов — просто набор точек, задаваемых неким отображением трёхмерного пространства:

$$\vec{P}_{j+1} = \vec{\Phi}(\vec{P}_j)$$
 $\vec{\Phi}: R^3 \to R^3$

Теорема Вильямса-Хатчисона:

$$\vec{f}_k: R^d o R^d$$
 — сжимающие отображения $k=\overline{1,s}$

$$|\vec{f}_k(\vec{x}) - \vec{f}_k(\vec{y})| \le \lambda_k \cdot |\vec{x} - \vec{y}| \qquad 0 < \lambda_k < 1$$

$$D_0 \subset R^d$$
 — компактная компактная область

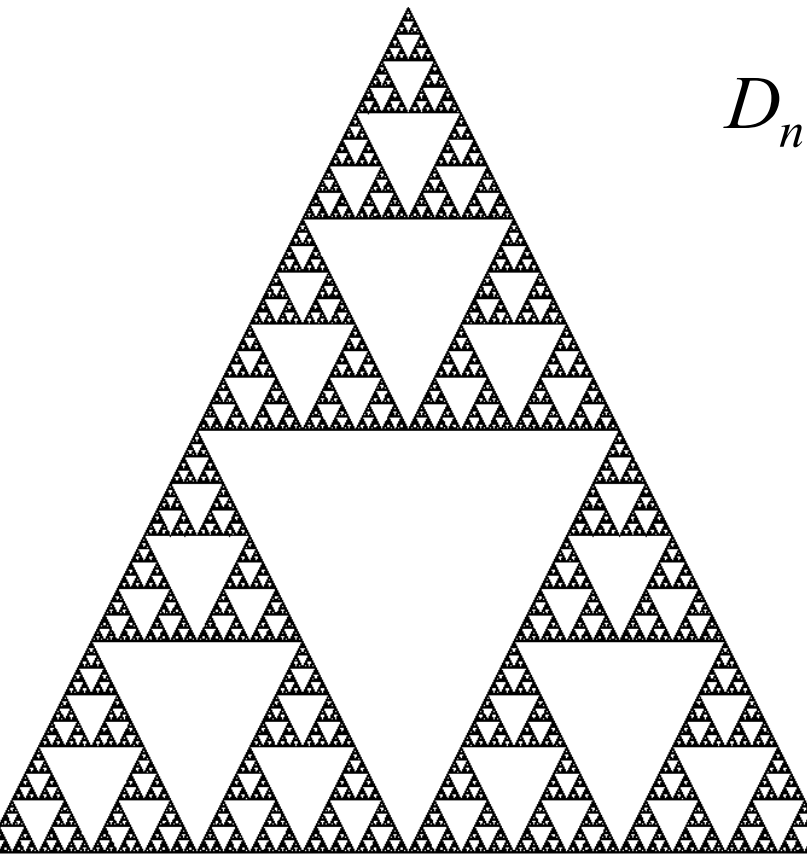
$$D_{n+1} = \vec{f}_1(D_n) \cup \vec{f}_2(D_n) \cup ... \cup \vec{f}_s(D_n)$$

Существует
$$D=\lim_{n\to +\infty} D_n$$
 сходимость понимается по метрике Хаусдорфа:

$$\rho_{H}(U,V) = \max \left\{ \max \min_{\forall \vec{x} \in U} |\vec{x} - \vec{y}|, \quad \max_{\forall \vec{y} \in V} |\vec{x} - \vec{y}| \right\}$$

Пример построения фрактала на двумерной плоскости с помощью теоремы Вильямса-Хатчисона

$$f_i(\vec{x}) = \frac{1}{2} \cdot \vec{x} + \vec{b}_i \quad \vec{b}_1 = \begin{pmatrix} 0 \\ 0 \end{pmatrix} \quad \vec{b}_2 = \frac{1}{2} \cdot \begin{pmatrix} 1 \\ 0 \end{pmatrix} \quad \vec{b}_3 = \frac{1}{4} \cdot \begin{pmatrix} 1 \\ \sqrt{3} \end{pmatrix}$$

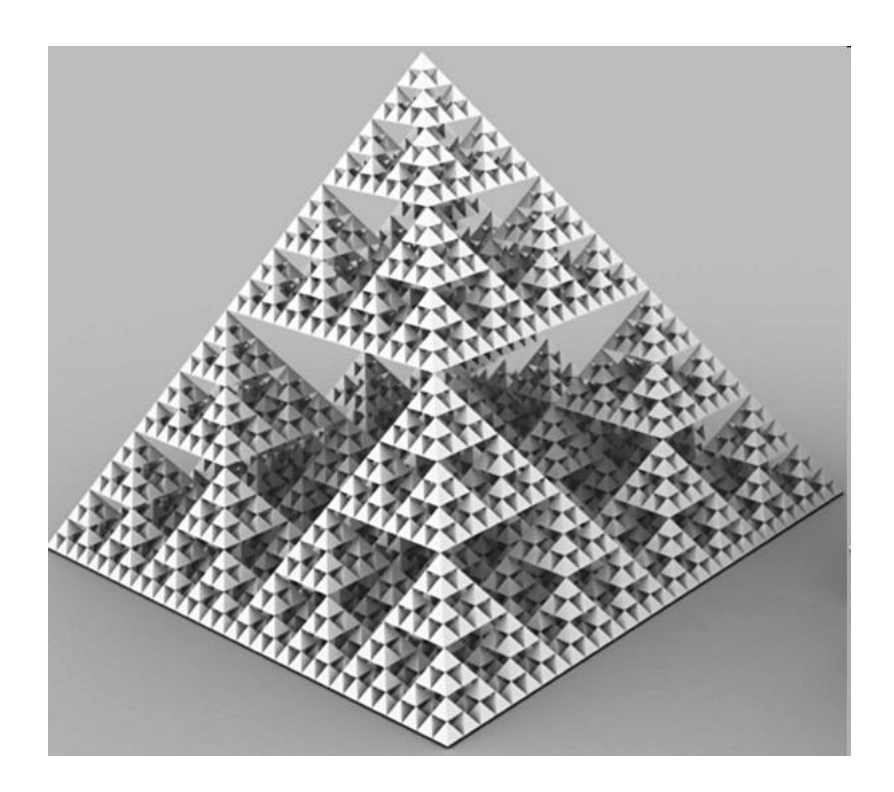


$$D_{n+1} = f_1(D_n) \cup f_2(D_n) \cup f_3(D_n)$$

$$\lim_{n\to+\infty}\rho_H(D_n,D)=0$$

D — салфетка Серпинского (Вятка, 1915 г.) с фрактальной размерностью:

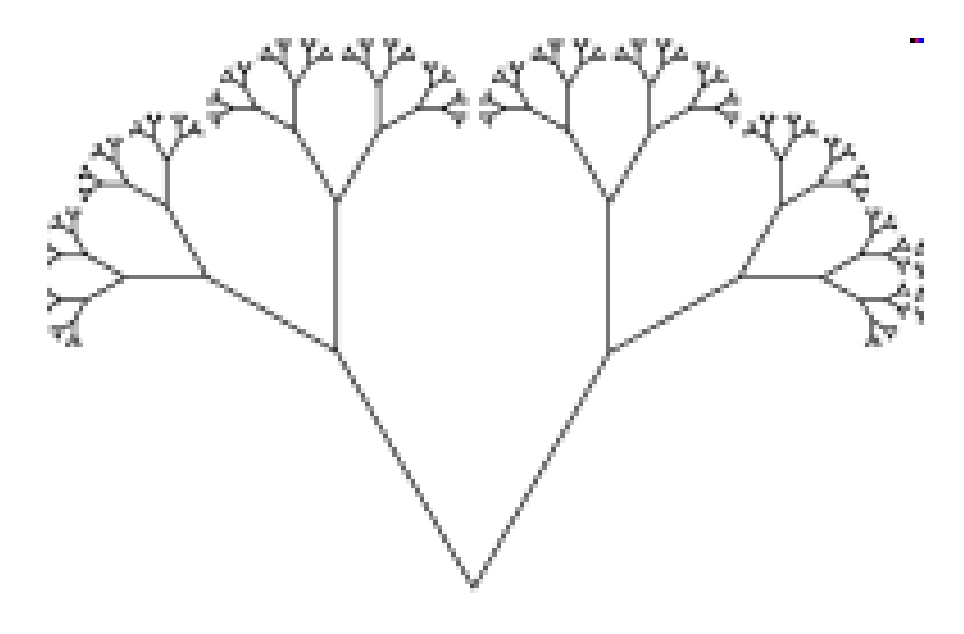
$$Dfr = \frac{\ln 3}{\ln 2} \approx 1,5849$$



При соответствующем выборе сжимающих отображений предельное множество является фракталом.

Траектории координат являются прямыми, которые могут проходиться в обратном направлении. Значит, координаты могут пробегать фрактальные деревья в трёхмерном пространстве.

Фейнманон — объект, двигающийся в фазовом пространстве по фрактальным траекториям подобно квантовомеханической частице.



Фейнманоны и фононы в бозе-жидкости

Волновая функция бозе-конденсата:

$$\Xi(\vec{x},t) = \sqrt{n_0(\vec{x},t)} \cdot \exp[i \cdot \Phi(\vec{x},t)]$$

$$\varphi = \frac{\hbar}{m} \cdot \Phi$$
 — потенциал скорости жидкости

$$\frac{\partial^2 \varphi}{\partial t^2} = u^2 \cdot \Delta \varphi \qquad \qquad \frac{\partial \varphi_1}{\partial t} = -u \cdot \sqrt{-\Delta} \cdot \varphi_2 \qquad \frac{\partial \varphi_2}{\partial t} = u \cdot \sqrt{-\Delta} \cdot \varphi_1$$

$$(-\Delta)^{-1/2} f(\vec{x}) = \frac{1}{2 \cdot \pi^2} \cdot \int \frac{f(\vec{x}') \cdot d^3 x'}{|\vec{x} - \vec{x}'|^2}$$
 — обратный оператор к оператору модуля импульса

$$i \cdot \frac{\partial \vec{\varphi}}{\partial t} = u \cdot \sqrt{-\Delta} \cdot \sigma_y \cdot \vec{\varphi} \qquad \vec{\varphi} = \begin{pmatrix} \varphi_1 \\ \varphi_2 \end{pmatrix}$$

$$\vec{\varphi}(t) = \exp(-i \cdot t \cdot u \cdot \sqrt{-\Delta} \cdot \sigma_y) \cdot \vec{\varphi}(0)$$

$$\exp(-i \cdot t \cdot u \cdot \sqrt{-\Delta} \cdot \sigma_y) = \frac{1 - \sigma_y}{2} \cdot \exp(i \cdot t \cdot u \cdot \sqrt{-\Delta}) + \frac{1 + \sigma_y}{2} \cdot \exp(-i \cdot t \cdot u \cdot \sqrt{-\Delta})$$

Матрица Грина для фононов:

$$\Gamma_{f}(\vec{x}, \vec{x}'; t) = \frac{1 - \sigma_{y}}{2} \cdot G_{f}^{*}(\vec{x}', \vec{x}; t) + \frac{1 + \sigma_{y}}{2} \cdot G_{f}(\vec{x}, \vec{x}'; t)$$

$$G_f(\vec{x}, \vec{x}'; t) \equiv <\vec{x} \mid \exp(-i \cdot t \cdot u \cdot \sqrt{-\Delta}) \mid \vec{x}' > = \frac{i}{2 \cdot \pi^2 \cdot u} \cdot \frac{\partial}{\partial t} \frac{1}{(\vec{x} - \vec{x}')^2 - (u \cdot t)^2 + i \cdot 0}$$

$$G_f(\vec{x}, \vec{x}'; t) = \int_{\vec{Q}(0) = \vec{x}'}^{\vec{Q}(t) = \vec{x}} \exp[i \cdot \int_0^t (\vec{P}(\tau) \cdot \dot{\vec{Q}}(\tau) - u \cdot |\vec{P}(\tau)|) \cdot d\tau] \cdot \prod_{\tau} \frac{d\vec{P}(\tau) \cdot d\vec{Q}(\tau)}{2 \cdot \pi}$$

Функция Грина для фононов представляется интегралом Фейнмана.
Опять появился фейнманон.

Квантованное поле потенциала скорости и нелокальность

$$\varphi(\vec{x},t) = \int [\hat{c}(\vec{p}) \cdot \exp(i \cdot \vec{p} \cdot \vec{x} - i \cdot u \cdot |\vec{p}| \cdot t) + \hat{c}^{+}(\vec{p}) \cdot \exp(-i \cdot \vec{p} \cdot \vec{x} + i \cdot u \cdot |\vec{p}| \cdot t)] \cdot d\vec{p}$$

Вычислим два гамильтониана:

$$[\hat{c}(\vec{p}), \hat{c}^{+}(\vec{p}')] = \delta(\vec{p} - \vec{p}')$$

$$\hat{H} = \int : \left[\frac{1}{2} \cdot \left(\frac{\partial \hat{\varphi}(\vec{x}, t)}{\partial t} \right)^2 + \frac{u^2}{2} \cdot \left(\sqrt{-\Delta} \cdot \hat{\varphi}(\vec{x}, t) \right)^2 \right] : d^3x$$

$$\hat{H} = \int : \left[\frac{1}{2} \cdot \left(\frac{\partial \hat{\varphi}(\vec{x}, t)}{\partial t} \right)^2 + \frac{u^2}{2} \cdot (\nabla \hat{\varphi}(\vec{x}, t))^2 \right] : d^3x$$

Результаты совпадают:

$$\hat{H} = \int u \cdot |\vec{p}| \cdot \hat{c}^{\dagger}(\vec{p}) \cdot \hat{c}(\vec{p}) \cdot d^{3}p$$

Фейнманоны в линеаризованном уравнении Гросс-Питаевского

$$i \cdot \frac{\partial \Xi}{\partial t} = -\frac{1}{2 \cdot m} \cdot \Delta \Xi + U_0 \cdot (\Xi \cdot |\Xi|^2 - n \cdot \Xi)$$
 — уравнение Гросс-Питаевского

$$\Xi = \sqrt{n} + \zeta$$

Линеаризуем его:
$$i\cdot\frac{\partial \zeta}{\partial t} = \left(-\frac{\Delta}{2\cdot m} + n\cdot U_0\right)\cdot \zeta + n\cdot U_0\cdot \zeta^*$$

$$i\cdot\frac{\partial \zeta^*}{\partial t} = -\left(-\frac{\Delta}{2\cdot m} + n\cdot U_0\right)\cdot \zeta^* - n\cdot U_0\cdot \zeta^*$$

$$i \cdot \frac{\partial \zeta^*}{\partial t} = -\left(-\frac{\Delta}{2 \cdot m} + n \cdot U_0\right) \cdot \zeta^* - n \cdot U_0 \cdot \zeta^*$$

Введём «энергетический» вектор:

$$\vec{\varepsilon}(\vec{p}) = \left(0, -i \cdot n \cdot U_0, \frac{\vec{p}^2}{2 \cdot m} + n \cdot U_0\right)$$

$$ec{arepsilon}^2(ec{p}) = \left(rac{p^2}{2\cdot m}
ight)^2 + rac{n\cdot U_0}{m}\cdot p^2 \equiv arepsilon^2(p)$$
 $u = \sqrt{rac{n\cdot U_0}{m}}$ — скорость звука

$$i \cdot \frac{\partial \vec{\zeta}}{\partial t} = \vec{\varepsilon} (\hat{\vec{p}}) \cdot \vec{\sigma} \cdot \vec{\zeta} \qquad \vec{\zeta} = \begin{pmatrix} \zeta_1 \\ \zeta_2 \end{pmatrix}$$

$$\exp[-i \cdot t \cdot \vec{\varepsilon}(\hat{\vec{p}}) \cdot \vec{\sigma}] = \frac{\exp[-i \cdot t \cdot \vec{\varepsilon}(\hat{\vec{p}})] + \exp[i \cdot t \cdot \vec{\varepsilon}(\hat{\vec{p}})]}{2} + (\vec{\varepsilon}(\hat{\vec{p}}) \cdot \vec{\sigma}) \cdot \frac{1}{\varepsilon(\hat{\vec{p}})} \cdot \frac{\exp[-i \cdot t \cdot \vec{\varepsilon}(\hat{\vec{p}})] - \exp[i \cdot t \cdot \vec{\varepsilon}(\hat{\vec{p}})]}{2}$$

$$\varepsilon^{-1}(\vec{x} - \vec{x}') = \langle \vec{x} \mid \frac{1}{\varepsilon(\hat{\vec{p}})} \mid \vec{x}' \rangle = \int \frac{\exp[i \cdot \vec{p} \cdot (\vec{x} - \vec{x}')]}{\varepsilon(p)} \cdot \frac{d^3 p}{(2 \cdot \pi)^3}$$

$$\varepsilon^{-1}(\vec{x} - \vec{x}') = \frac{m}{\pi^2 \cdot |\vec{x} - \vec{x}'|} \cdot \int_0^{\infty} \frac{\sin[2 \cdot m \cdot u \cdot |\vec{x} - \vec{x}'| \cdot \eta]}{\sqrt{\eta^2 + 1}} \cdot d\eta$$

$$\vec{\zeta}(\vec{x},t) = \int \frac{G(\vec{x},\vec{x}';t) + G^*(\vec{x}',\vec{x};t)}{2} \cdot \vec{\zeta}(\vec{x}',0) \cdot d^3x' + (\vec{\varepsilon}(\hat{\vec{p}}) \cdot \vec{\sigma}) \cdot \int \varepsilon^{-1}(\vec{x} - \vec{x}') \cdot \vec{\xi}(\vec{x}',t) \cdot d^3x'$$

$$\vec{\xi}(\vec{x},t) = \int \frac{G(\vec{x}, \vec{x}';t) - G^*(\vec{x}', \vec{x};t)}{2} \cdot \vec{\zeta}(\vec{x}',0) \cdot d^3x'$$

$$G(\vec{x}, \vec{x}'; t) = \int_{\vec{Q}(0) = \vec{x}'}^{\vec{Q}(t) = \vec{x}} \exp[i \cdot \int_{0}^{t} (\vec{P}(\tau) \cdot \dot{\vec{Q}}(\tau) - \varepsilon(\vec{P}(\tau)) \cdot d\tau] \cdot \prod_{\tau} \frac{d\vec{P}(\tau) \cdot d\vec{Q}(\tau)}{2 \cdot \pi}$$

Выводы

- в задачах сверхтекучести имеются фейнманоны — квазичастицы, двигающиеся по фрактальным траекториям интеграла Фейнмана;
- возможность введения фейнманонов тесно связана с рассмотрением дробных дифференциальных операторов.

БЛАГОДАРЮ ЗА ВНИМАНИЕ!